

Relatório do Laboratório 3 - Projeto de Servomotor de Velocidade

Eric Guerra Ribeiro

16 de maio de 2022

1 Planta Servomotor

O estudo em questão se trata da análise de controladores de um servomotor. A dinâmica deste dispositivo é dada por Eq.1, 2, 3.

$$\begin{cases} J_{eq}\dot{\omega}_m + B_{eq}\omega_m = \tau_m + \frac{\tau_e}{N\eta} \\ V - K_t\omega_m = L\dot{i} + Ri \end{cases} \quad (1)$$

$$\tau_m = K_t i \quad (2)$$

$$\omega_m = N\omega_l \quad (3)$$

Assim, a partir de Eq.1, 2, 3 e considerando um estado estacionário, ou seja, $\dot{\omega}_m = 0$ e $\dot{i} = 0$, temos que a tensão final para um determinado ω_l e τ_e é dada por Eq.4.

$$V = N \left(K_t + \frac{RB_{eq}}{K_t} \right) \omega_l - \frac{R\tau_e}{K_t N \eta} \quad (4)$$

O servomotor analisado possui como parâmetros $R = 1.2 \, \Omega$, $L = 0.56 \, mH$, $K_t = 0.0255 \, N/Am$, $N = 3$, $\eta = 94\%$, $J_{eq} = 111.8 \, g \, cm^2$, $B_{eq} = 0.81224 \, dyn \, s/m$.

2 Controlador P + *Feedforward*

Para o projeto de um servomotor, primeiramente foi utilizado um controlador P + *feedforward*, conforme o diagrama da Fig.1.

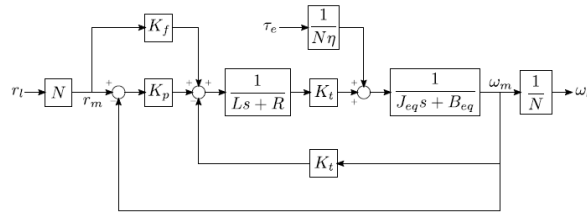


Figura 1: Diagrama de blocos do servomotor com controlador P + *feedforward*.

Podemos encontrar a função de transferência $G_R(s) = \frac{\Omega_l(s)}{R_l(s)}$ a partir do diagrama e do princípio da superposição, como em Eq.5.

$$\begin{aligned}
N\Omega_l(s) &= ((NR_l(s) - N\Omega_l(s))K_p + K_fNR_l(s) - K_tN\Omega_l(s)) \frac{K_t}{(Ls + R)(J_{eq}s + B_{eq})} \\
N\Omega_l(s) &= N((K_p + K_f)R_l(s) - (K_p + K_t)\Omega_l(s)) \frac{K_t}{(Ls + R)(J_{eq}s + B_{eq})} \\
\frac{\Omega_l(s)}{R_l(s)} &= \left((K_p + K_f) - (K_p + K_t) \frac{\Omega_l(s)}{R_l(s)} \right) \frac{K_t}{(Ls + R)(J_{eq}s + B_{eq})} \\
\therefore G_R(s) &= \frac{K_t(K_p + K_f)}{(Ls + R)(J_{eq}s + B_{eq}) + K_t(K_p + K_t)}
\end{aligned} \tag{5}$$

Analogamente para $G_D(s) = \frac{\Omega_l(s)}{T_e(s)}$, temos a Eq.6.

$$\begin{aligned}
N\Omega_l(s) &= \left(T_e(s) \frac{1}{N\eta} + \frac{K_t}{Ls + R} (K_p(-N\Omega_l(s)) - K_tN\Omega_l(s)) \right) \frac{1}{J_{eq}s + B_{eq}} \\
N \frac{\Omega_l(s)}{T_e(s)} &= \left(\frac{1}{N\eta} - \frac{NK_t(K_p + K_t)}{Ls + R} \frac{\Omega_l(s)}{T_e(s)} \right) \frac{1}{J_{eq}s + B_{eq}} \\
\therefore G_D(s) &= \frac{Ls + R}{N^2\eta((Ls + R)(J_{eq}s + B_{eq}) + K_t(K_p + K_t))}
\end{aligned} \tag{6}$$

Para $L \approx 0$, temos as Eq.7, 8 para $G_R(s)$ e $G_D(s)$, respectivamente.

$$G_R(s) = \frac{K_t(K_p + K_f)}{R(J_{eq}s + B_{eq}) + K_t(K_p + K_t)} = \frac{K_t(K_p + K_f)}{RB_{eq} + K_t(K_p + K_t)} \cdot \frac{1}{\frac{RJ_{eq}}{RB_{eq} + K_t(K_p + K_t)}s + 1} \tag{7}$$

$$G_D(s) = \frac{R}{N^2\eta(R(J_{eq}s + B_{eq}) + K_t(K_p + K_t))} \tag{8}$$

A partir da Eq.7, se observa que $G_R(s)$ é de primeira ordem, então sua constante de tempo é dada por Eq.9.

$$\tau = \frac{RJ_{eq}}{RB_{eq} + K_t(K_p + K_t)} \tag{9}$$

Com base na Eq.9, se pode calcular K_p , dado por Eq.10.

$$K_p = \frac{1}{K_t} \left(\frac{RJ_{eq}}{\tau} - RB_{eq} \right) - K_t \tag{10}$$

O K_f é determinado de forma que o sistema não tenha, para entrada de degrau unitário, erro em regime, o qual é expresso por Eq.11. Assim, K_f é dado por Eq.12, usando a função de transferência de Eq.7.

$$e_{\infty, R} = \lim_{s \rightarrow 0} sE_R(s) = \lim_{s \rightarrow 0} sR_l(s)(1 - G_R(s)) = \lim_{s \rightarrow 0} s \frac{1}{s} (1 - G_R(s)) = \lim_{s \rightarrow 0} 1 - G_R(s) \tag{11}$$

$$\begin{aligned}
\lim_{s \rightarrow 0} 1 - G_R(s) &= \lim_{s \rightarrow 0} 1 - \frac{K_t(K_p + K_f)}{RB_{eq} + K_t(K_p + K_t)} \cdot \frac{1}{\frac{RJ_{eq}}{RB_{eq} + K_t(K_p + K_t)}s + 1} \\
&= \lim_{s \rightarrow 0} 1 - \frac{K_t(K_p + K_f)}{RB_{eq} + K_t(K_p + K_t)} \\
&= 1 - \frac{K_t(K_p + K_f)}{RB_{eq} + K_t(K_p + K_t)} \\
&= 0 \\
\therefore K_f &= K_t + \frac{RB_{eq}}{K_t}
\end{aligned} \tag{12}$$

Porém, mesmo quando $L > 0$ o erro em regime continua sendo nulo com o K_f de Eq.12, como mostra Eq.13.

$$\begin{aligned}
e_{\infty, R} &= \lim_{s \rightarrow 0} 1 - G_R(s) \\
&= \lim_{s \rightarrow 0} 1 - \frac{K_t (K_p + K_f)}{(Ls + R)(J_{eq}s + B_{eq}) + K_t (K_p + K_t)} \\
&= 1 - \frac{K_t (K_p + K_f)}{RB_{eq} + K_t (K_p + K_t)} \\
&= 0
\end{aligned} \tag{13}$$

Porém, ainda há o erro gerado pelo distúrbio, dado por Eq.14 para distúrbio degrau. Considerando a expressão de $G_D(s)$ da Eq.6, temos que o erro em regime por causa do distúrbio é dado por Eq.15.

$$\begin{aligned}
e_{\infty, D} &= \lim_{s \rightarrow 0} sE_D(s) = \lim_{s \rightarrow 0} -sT_e(s)G_D(s) = \lim_{s \rightarrow 0} -s\frac{1}{s}\tau_e G_D(s) = \lim_{s \rightarrow 0} -\tau_e G_D(s) \\
e_{\infty, D} &= \lim_{s \rightarrow 0} -\tau_e G_D(s) \\
&= \lim_{s \rightarrow 0} -\tau_e \frac{Ls + R}{N^2\eta ((Ls + R)(J_{eq}s + B_{eq}) + K_t(K_p + K_t))} \\
&= -\tau_e \frac{R}{N^2\eta (RB_{eq} + K_t(K_p + K_t))} \\
&= -\frac{\tau\tau_e}{J_{eq}N^2\eta}
\end{aligned} \tag{15}$$

Analisando o sistema de servomotor descrito em 1, para o controlador projetado com $\tau = 0.01$ s, com referência degrau com 50 rad/s de amplitude (começando em $t = 0$ s) e com distúrbio degrau com amplitude de 0.2 Nm (começando em $t = 0.1$ s) temos os gráficos da Fig.2.

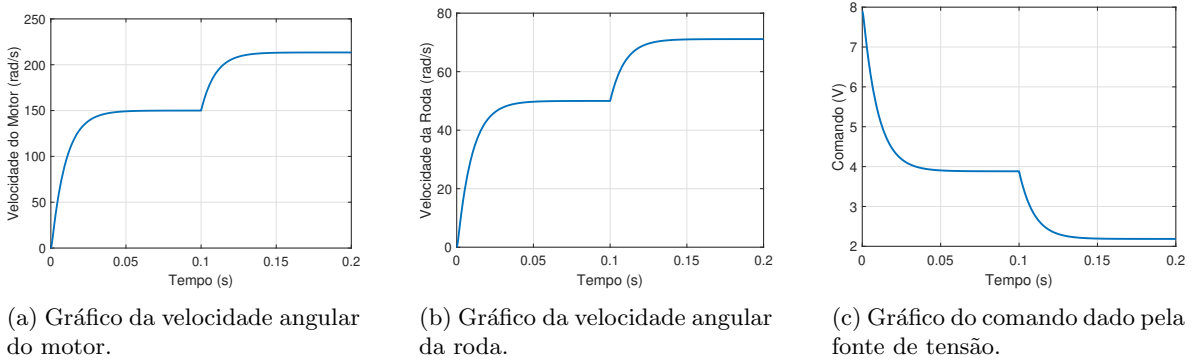


Figura 2: Gráficos das velocidades angulares do motor e da roda e do comando resultante da simulação do controlador.

Perceba que dos gráficos das Fig.2a, 2b, a razão $\frac{\omega_m}{\omega_l} = 3 = N$, como esperado. Além disso, como $L \approx 0$, das Eq.7, 8 as funções de transferência $G_R(s)$ e $G_D(s)$ são de 1º grau. Então o comportamento esperado é o oposto de uma exponencial decrescente que é o comportamento de ω_m e ω_l em Fig.2a, 2b tanto antes quanto depois do início da perturbação. Como a perturbação se inicia depois da estabilização das velocidades angulares, é fácil ver a exponencial gerada pela referência (a primeira) e a gerada pela perturbação (a segunda), porque elas não estão sobrepostas.

Para analisar os erros em regime, basta usar o princípio da superposição. Pela Eq.11, não há erro em regime por causa do controlador não conseguindo estabilizar na referência. Assim, por Eq.15, o

erro em regime é dado apenas pelo erro gerado pela perturbação, que para o servomotor e controlador em questão é de -21.1 rad/s para ω_l . Esse comportamento é o indicado pelo gráfico da Fig.2b, com um valor em regime antes da perturbação de 50 rad/s (igual a referência) e, depois da perturbação de 71.1 rad/s .

Pela Eq.4 podemos também comparar o esperado pela teoria com os resultados do gráfico da Fig.2c. No primeiro estado estacionário ($\omega_l = 50 \text{ rad/s}$ e $\tau_e = 0 \text{ N/m}$) a tensão esperada é de 3.88 V que é igual ao resultado do gráfico. No segundo estado estacionário ($\omega_l = 71.1 \text{ rad/s}$ e $\tau_e = 0.2 \text{ N/m}$) a tensão esperada é de 2.18 V que novamente é igual ao resultado do gráfico.

3 Controlador PI com Pré-Filtro

Para o projeto de um servomotor, também foi estudado um controlador PI com Pré-Filtro, conforme o diagrama da Fig.3 e as Eq.16, 17.

$$F(s) = \frac{K_i}{K_p s + K_i} \quad (16)$$

$$C(s) = \frac{K_p s + K_i}{s} \quad (17)$$

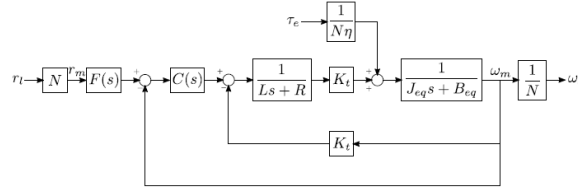


Figura 3: Diagrama de blocos do servomotor com controlador PI com Pré-Filtro.

Podemos encontrar a função de transferência $G_R(s) = \frac{\Omega_l(s)}{R_l(s)}$ a partir do diagrama e do princípio da superposição, como em Eq.18.

$$\begin{aligned} N\Omega_l(s) &= \left(\left(NR_l(s) \frac{K_i}{K_p s + K_i} - N\Omega_l(s) \right) \frac{K_p s + K_i}{s} - K_t N\Omega_l(s) \right) \frac{1}{Ls + R} K_t \frac{1}{J_{eq} s + B_{eq}} \\ \frac{\Omega_l(s)}{R_l(s)} &= \left(\frac{K_i}{s} - \left(\frac{K_p s + K_i}{s} + K_t \right) \frac{\Omega_l(s)}{R_l(s)} \right) \frac{K_t}{(Ls + R)(J_{eq} s + B_{eq})} \end{aligned} \quad (18)$$

$$\therefore G_R(s) = \frac{K_t K_i}{s(Ls + R)(J_{eq} s + B_{eq}) + K_t(K_p + K_t)s + K_i K_t}$$

Analogamente para $G_D(s) = \frac{\Omega_l(s)}{T_e(s)}$, temos a Eq.19.

$$\begin{aligned} N\Omega_l(s) &= \left(\left(-N\Omega_l(s) \frac{K_p s + K_i}{s} - NK_t \Omega_l(s) \right) \frac{K_t}{Ls + R} + \frac{T_e}{N\eta} \right) \frac{1}{J_{eq} s + B_{eq}} \\ (J_{eq} s + B_{eq}) \frac{\Omega_l(s)}{T_e(s)} &= \frac{1}{N^2 \eta} - \frac{K_t}{Ls + R} \left(\frac{K_p s + K_i}{s} + K_t \right) \frac{\Omega_l(s)}{T_e(s)} \\ \therefore G_D(s) &= \frac{s(Ls + R)}{N^2 \eta (s(J_{eq} s + B_{eq})(Ls + R) + K_t(K_p + K_t)s + K_t K_i)} \end{aligned} \quad (19)$$

Para $L \approx 0$, temos as Eq.20, 21 para $G_R(s)$ e $G_D(s)$, respectivamente.

$$G_R(s) = \frac{\frac{K_t K_i}{R J_{eq}}}{s^2 + \frac{R B_{eq} + K_t(K_p + K_t)}{R J_{eq}} + \frac{K_t K_i}{R J_{eq}}} \quad (20)$$

$$G_D(s) = \frac{s(Ls + R)}{N^2 \eta (s(J_{eq}s + B_{eq})(Ls + R) + K_t(K_p + K_t)s + K_t K_i)} \quad (21)$$

A partir da Eq.20, se observa que $G_R(s)$ é de segunda ordem, então ω_n e ξ são dados pelo sistema de equações da Eq.22.

$$\begin{cases} \omega_n^2 = \frac{K_t K_i}{R J_{eq}} \\ 2\xi\omega_n = \frac{R B_{eq} + K_t(K_p + K_t)}{R J_{eq}} \end{cases} \quad (22)$$

Pelos requisitos do projeto, $t_r|_{0\%}^{100\%} = 0.02 \text{ s}$, $Mp = 0.046$. Portanto, podemos encontrar ξ e ω_n a partir das Eq.23 e 24, respectivamente.

$$\xi = \frac{1}{\sqrt{1 + \left(\frac{\pi}{\ln M_p}\right)^2}} \quad (23)$$

$$\omega_n = \frac{\pi - \arccos \xi}{t_r|_{0\%}^{100\%} \sqrt{1 - \xi^2}} \quad (24)$$

Com base nas Eq.22, 23, 24, podemos calcular K_i e K_p por Eq.25, 26, respectivamente.

$$K_i = \frac{R J_{eq} \omega_n^2}{K_t} \quad (25)$$

$$K_p = \frac{R}{K_t} (2 J_{eq} \xi \omega_n - B_{eq}) - K_t \quad (26)$$

Analisando o erro em regime do sistema, valendo-se das Eq.11 e 14. Assim, usando as Eq.18 e 19, temos que os erros em regime são nulos por Eq.27, 28.

$$e_{\infty, R} = \lim_{s \rightarrow 0} 1 - G_R(s) = \lim_{s \rightarrow 0} 1 - \frac{K_t K_i}{s(Ls + R)(J_{eq}s + B_{eq}) + K_t(K_p + K_t)s + K_t K_i} = \lim_{s \rightarrow 0} 1 - \frac{K_t K_i}{K_i K_t} = 0 \quad (27)$$

$$e_{\infty, D} = \lim_{s \rightarrow 0} -\tau_e G_D(s) = \lim_{s \rightarrow 0} -\frac{s(Ls + R)\tau_e}{N^2 \eta (s(J_{eq}s + B_{eq})(Ls + R) + K_t(K_p + K_t)s + K_t K_i)} = 0 \quad (28)$$

Analisando o sistema de servomotor descrito em 1, para o controlador projetado com $t_r|_{0\%}^{100\%} = 0.02 \text{ s}$, $Mp = 0.046$, com referência degrau com 50 rad/s de amplitude (começando em $t = 0 \text{ s}$) e com distúrbio degrau com amplitude de 0.2 Nm (começando em $t = 0.1 \text{ s}$) temos os gráficos da Fig.4.

Perceba que, do gráfico da Fig.4b, o tempo de subida é 0.0193 s , com pico de 52.34 rad/s , ou seja, sobressinal de 0.0468 , sendo valores dentro da imprecisão de medida dos requeridos pelo controlador. Além disso, o erro em regime é nulo tanto antes quanto depois do início do distúrbio, como previsto por Eq.??, 28.

Analisando o gráfico da Fig.4c, note que toda a tensão comandada no regime permanente vem do controlador integrativo, pois o erro é nulo. Então, a diferença entre a referência e o valor é nula, fazendo que o comando do controlador P seja nulo.

O valor da tensão comandada em regime permanente antes do distúrbio foi de 3.88 V , que é o mesmo do controlador de 2. Sendo novamente o esperado, pelo mesmo motivo de $\tau_e = 0 \text{ N/m}$ e

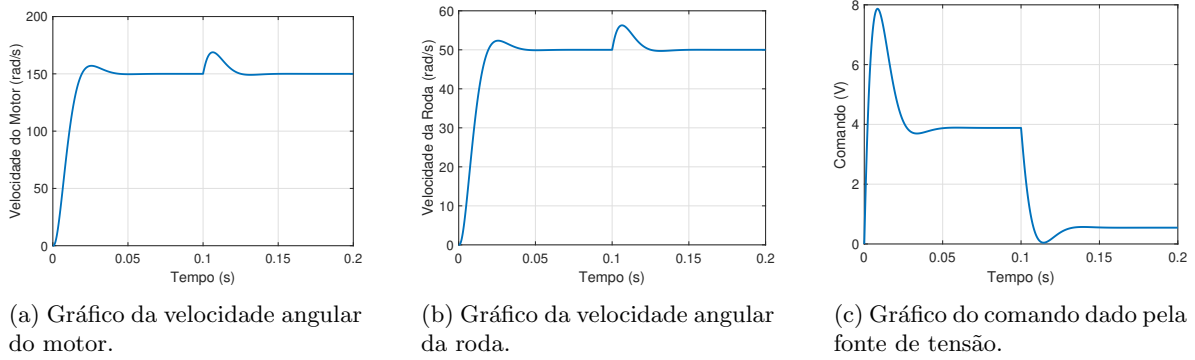


Figura 4: Gráficos das velocidades angulares do motor e da roda e do comando resultante da simulação do controlador.

$\omega_l = 50 \text{ rad/s}$. Já após o distúrbio, ω_l se mantém, mas $\tau_e = 0.2 \text{ Nm}$. Assim, a tensão comandada experimental é de 0.54 V , que é igual a teórica (0.5448 V), expressa por Eq.4.

Analisando a Eq.4, vemos que a tensão comandada é responsável por anular os efeitos do torque de distúrbio τ_e , da resistência do ar B_{eq} e queda de tensão no servomotor K_t .

4 Aproximação por Polos Dominantes

Para se estudar a aproximação por polos dominantes se simulou o controlador PI de 3 com $t_r|_{0\%}^{100\%} = 0.02 \text{ s}$, $M_p = 0.046$, referência degrau de 50 rad/s e sem perturbação para diferentes valores de L . Foram estudados $L \in \{\frac{L_{nom}}{2}, L_{nom}, 2L_{nom}, 4L_{nom}, 8L_{nom}\}$, sendo o valor nominal de indutância $L_{nom} = 0.56 \text{ mH}$.

A Figura 5a mostra o gráfico dos polos das diferentes funções de transferência. Perceba que à medida que L diminui, o polo real vai para infinito, enquanto os polos complexos (que são os dominantes) se aproximam aos polos de Eq. 20.

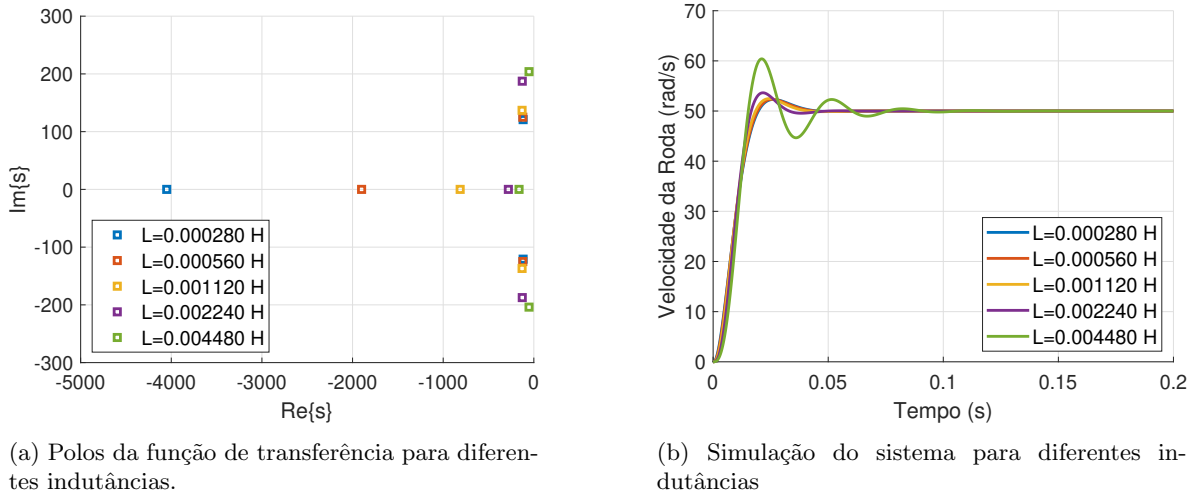


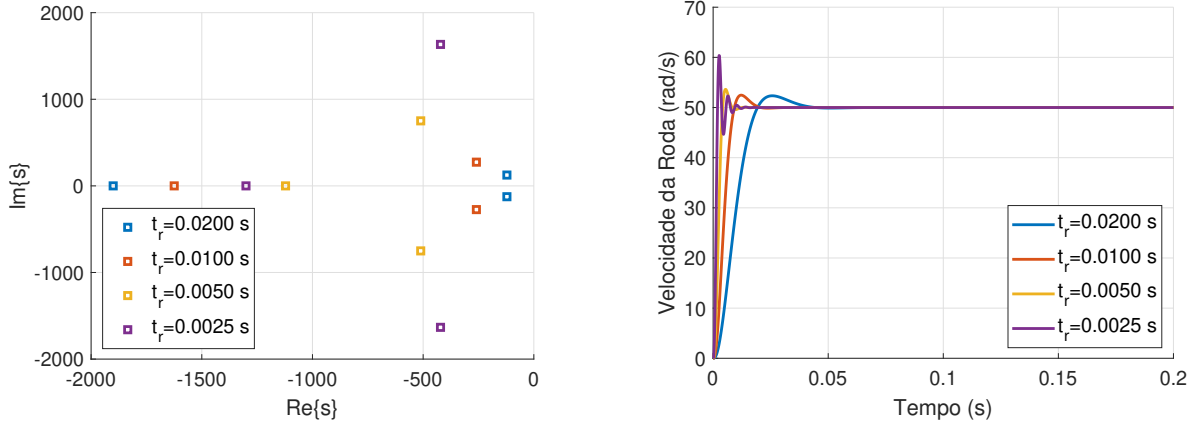
Figura 5: Polos da função de transferência e suas respectivas simulações para diferentes indutâncias.

A Figura 5b mostra a simulação do sistema para diferentes indutâncias. Perceba que na proporção que L diminui, o tempo de subida se aproxima de 0.02 s e o sobressinal de 0.046 . Além disso, perceba da

Fig.5a que quando L tende à zero, o ângulo β diminui, indicando que ξ (e o amortecimento) também é reduzido; o módulo dos polos ω_n diminui, o que faz o tempo de subida aumentar. Esse comportamento é visto na simulação da Fig.5b.

Além do efeito do indutor, há também o efeito do próprio controlador. Para estudá-lo, fez-se vários controladores com $Mp = 0.046$ s, $t_r|_{0\%}^{100\%} \in \{t_{nom}, \frac{t_{nom}}{2}, \frac{t_{nom}}{4}, \frac{t_{nom}}{8}\} = 0.02$ s ($t_{nom} = 50$ rad/s), sem perturbação.

Pela Figura 6a, o aumento de $t_r|_{0\%}^{100\%} = 0.02$ s causa a diminuição do módulo dos polos imaginários (ω_n), do ângulo β e o polo real ir para infinito. Isso resulta em uma resposta mais lenta do sistema, menor amortecimento (menor ξ) e um sistema mais próximo do de 2ª ordem. Esse é o comportamento visto nas simulações da Fig.6b.



(a) Polos da função de transferência para diferentes tempos de subida.

(b) Simulação do sistema para diferentes tempos de subida.

Figura 6: Polos da função de transferência e suas respectivas simulações para diferentes tempos de subida.

5 Implementação Digital

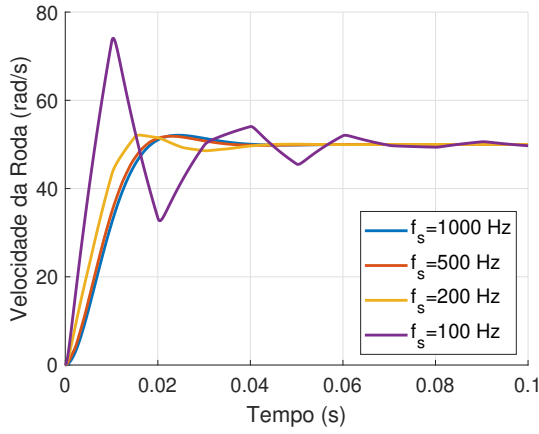
Implementando o controlador de 3 ($t_r|_{0\%}^{100\%} = 0.02$ s, $Mp = 0.046$, referência degrau de 50 rad/s e sem perturbação) em um sistema digital acarreta em aproximações e discretizar o sistema. Para analisar esse efeito, se utilizou taxas de amostragem $f_s = \frac{1}{T} \in \{1k, 500, 200, 100\}$ Hz

A Figura 7 mostra os gráficos resultantes da simulação. A partir deles, se percebe que a discretização introduz maiores erros no regime transitório, aumenta o tempo para se atingir o regime permanente, piorando o desempenho do sistema de controle no geral. Todavia, quando se aumenta a taxa de amostragem, esses defeitos são mitigados e o comportamento do controlador se aproxima do contínuo, que é o esperado, pois o contínuo seria equivalente a uma taxa de amostragem infinita.

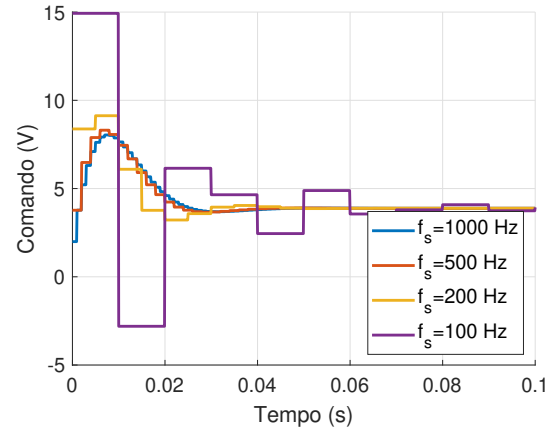
6 Projeto de Anti-windup

Um problema do controlador de 5 é que não considera os limites de tensão da fonte. Para consertar isso, se faz o anti-windup. Implementando o controlador de 3: $t_r|_{0\%}^{100\%} = 0.02$ s, $Mp = 0.046$, referência degrau de 50 rad/s, sem perturbação e tensão máximo de 12 V em um sistema digital se aproxima do comportamento real que o projeto teria.

A Figura 8 mostra os gráficos resultantes da simulação. A partir deles, se percebe que a limitação de tensão foi atingida. Além disso, se aumentou a eficiência do controlador, porque ao limitar a tensão houve menos *overshoot*.

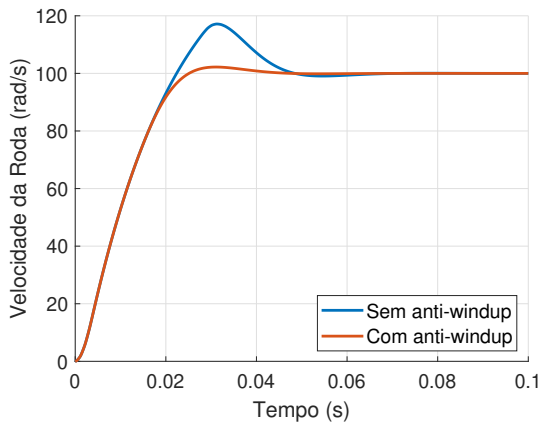


(a) Gráfico da velocidade angular da roda.

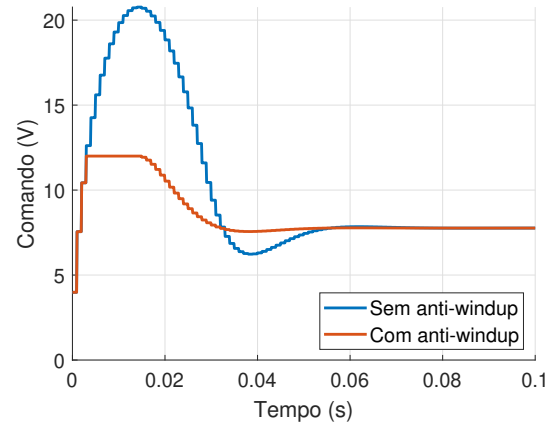


(b) Gráfico do comando dado pela fonte de tensão.

Figura 7: Gráficos das velocidades angulares da roda e do comando resultante da simulação do controlador.



(a) Gráfico da velocidade angular da roda.



(b) Gráfico do comando dado pela fonte de tensão.

Figura 8: Gráficos das velocidades angulares da roda e do comando resultante da simulação do controlador.